



## بررسی کانه‌زایی رگه‌های چند فلزی منطقه قره‌چنگل، شمال غرب قزوین

حسین قربانی پرشکوه<sup>\*</sup>، علی عابدینی، صمد علیپور

گروه زمین‌شناسی، دانشکده علوم، دانشگاه ارومیه، ارومیه، ایران

(دریافت مقاله: ۹۹/۵/۱۷، نسخه نهایی: ۹۹/۲/۱۷)

**چکیده:** کانی‌سازی نوع رگه‌ای فلزات پایه روی، سرب و مس و فلز گرانبهای طلا در منطقه قره‌چنگل (شمال‌غرب قزوین) در بخش جنوبی ایالت فلززایی طارم- هشتگین قرار دارد. سنگ‌های آتشفسانی تراکی‌آنذیت، ریولیت و داسیت و سنگ‌های آذرآواری توف، توفیت و شیل‌توفی (ائوسن) میزبان این کانی‌سازی هستند. دگرسانی‌های قابل تشخیص پیرامون رگه‌های کانه‌زا شامل آرزیلیک، سریسیتی، پروپیلیتیک و سیلیسی هستند. کانه‌زایی به دو شکل درونزاد و برونزاد رخ داده است. کانه‌های درونزاد شامل اسفالریت، گالن، کالکوپیریت، پیریت، مگنتیت، طلا، دیژنیت و بورنیت هستند که با انباشتهای کانی‌ای برونزاد چون کالکوپیریت، کولولیت، سروزیت، ملاکیت، آزوریت، هماتیت و گوتیت همراهی می‌شوند. کلسیت و کوارتز باطله‌های همراه این کانه‌زایی هستند. بافت کانستنگ رگه- رگچه‌ای، جانشینی، برشی، پراکنده، تیغه‌ای و پراکنده فضای خالی است. بر اساس بررسی‌های زمین‌شیمیایی، سنگ‌های درونگیر آتشفسانی، پرآلومین هستند و ماهیت آهکی قلایی پتابسیم بالا تا شوشونیتی دارند. غنی‌شدگی K، Ba و Cs در مقایسه با Ti، Nb و Zr، غنی‌شدگی عناصر خاکی نادر سبک (LREEs) نسبت به عناصر خاکی نادر سنگین (HREEs) و رخداد بی هنجاری منفی Nb تشکیل شده با کانه‌های سولفیدی نشان داد که آنها به طور عمده از نوع مایع+بخار (L+V) و دارای دمای همگن‌شدگی در گستره ۲۰۲ تا ۲۴۷ درجه سانتی‌گراد هستند. شوری میانبارهای سیال نیز در گستره ۱۰ تا ۲۲ درصد وزنی معادل نمک طعام است. بر اساس پافته‌های ریزدماسنجی، جوشش و سرد شدن مهم‌ترین ساز و کار تشکیل رگه‌های کانه‌دار هستند. شواهدی چون همزیستی میانبارهای سیال غنی از مایع و بخار، برشی‌شدن، حضور کوارتز ریزبلورین و کلسیت تیغه‌ای، تاییدی بر رخداد پدیده جوشش طی تشکیل رگه‌های کانه‌زا هستند. ترکیب نتایج بررسی‌های کانی‌شناسی، بافت و دگرسانی‌های همراه، زمین‌شیمی و جایگاه زمین‌ساختی سنگ‌های آتشفسانی و ریزدماسنجی میانبارهای سیال نشان می‌دهند که کانه‌زایی در منطقه قره‌چنگل بیشترین شباهت را به ذخایر فراگرمایی سولفیدشده‌گی پایین دارد.

**واژه‌های کلیدی:** کانی‌سازی؛ جایگاه زمین‌ساختی؛ میانبار سیال؛ فراگرمایی سولفیدشده‌گی پایین؛ قره‌چنگل.

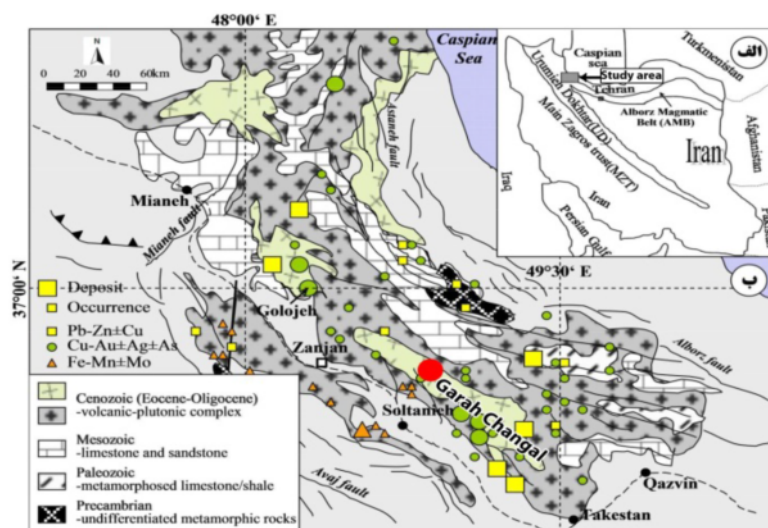
کمان البرز قرار دارد (شکل ۱). منطقه قره‌چنگل بخشی از کوه‌های طارم در این پهنه است. نبود تشکیلات سنگی سیلورین، دونین و کربونیفر و ضخامت زیاد سنگ‌های آتشفسانی و آذرآواری (سازند کرج به سن ایوسن) از مهم‌ترین ویژگی‌های زمین‌شناسی این منطقه به شمار می‌رود (شکل ۲).

منطقه قره‌چنگل بخشی از نقشه ۱:۲۵۰۰۰۰ زنجان بوده و در ۸۰ کیلومتری شمال غرب شهر قزوین واقع است. با وجود

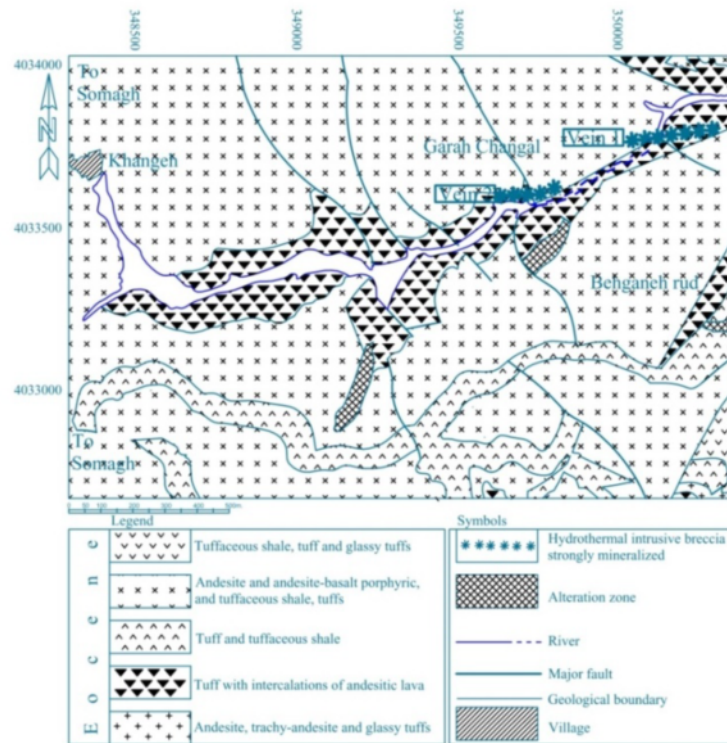
**مقدمه**  
چرخه فعالیت ماقمایی البرز در گستره زمانی ایوسن- الیگوسن منجر به تشکیل و گسترش مجموعه گستردگی‌های از سنگ‌های آذرین (آتشفسانی، نفوذی و نیمه عمیق) و آذرآواری همراه با رخداد کانه‌زایی‌های متنوع در پهنه فلززایی طارم- هشتگین شده است [۱، ۲]. این پهنه شامل دو بخش کوه‌های هشتگین در شمال و کوه‌های طارم در جنوب است و در بخش غربی

نشده است. در این پژوهش، براساس شواهد زمین‌شناسی، بافتی و کانی‌شناسی رگه‌های کانه‌دار، زمین‌شیمی سنگ‌های درونگیر آتشفسانی و بررسی میانبارهای سیال در بلورهای کوارتز همزمان تشکیل شده با کانه‌های سولفیدی، اطلاعات جامعی از روند کانی‌سازی، سازوکار تشکیل و نوع ذخیره قره‌چنگل به دست آمد.

بررسی‌های زمین‌شناسی به نسبت جامع پیرامون پهنه فلزایی طارم- هشتگین، به ویژه در دهه‌های ۱۳۶۰ و ۱۳۹۰ شمسی (به ترتیب توسط گروههای اکتشافی آلمانی با همکاری کارشناسان شرکت‌هایمعدنی تهران پادیر، امین خرمدشت، فراپارس و تهه البرز) و نیز بررسی‌های سنگ‌شناسی و زمین‌ساختی [۳-۶]، تاکنون بررسی دقیق و جامعی پیرامون زمین‌شناسی اقتصادی ذخیره چند فلزی منطقه قره‌چنگل انجام



شکل ۱ موقعیت منطقه قره‌چنگل (الف) در بخش غربی قوس ماقمایی البرز [۱] و (ب) پهنه طارم- هشتگین (برگرفته از مرجع [۲] با اندکی تغییرات).



شکل ۲ نقشه زمین‌شناسی- کانی‌سازی منطقه قره‌چنگل.

فضای خالی دارند. در نمونه‌های دستی، کانی‌شناسی رگه‌ها بسیار شبیه بوده و شامل گالن، اسفالریت، کالکوپیریت و پیریت است.

### روش بررسی

این پژوهش در دو بخش صحرایی و آزمایشگاهی انجام شد. در پیمایش صحرایی از سنگ‌های آذرین میزبان کانه‌زایی، رگه‌های کوارتزی-سولفیدی و پهنه‌های مختلف دگرسانی (از سطح و داخل تونل‌ها و ترانشه‌ها) تعداد ۹۰ نمونه برداشت شد. در بخش آزمایشگاهی، نخست از بین نمونه‌های برداشت شده تعداد ۴۲ نمونه مناسب انتخاب شده و با تهیه ۲۰ مقطع نازک و ۲۵ مقطع صیقلی، ویژگی‌های میکروسکوپی آنها با میکروسکوپ دو منظوره بررسی شدند. سپس، به منظور تعیین نوع ذخیره قره‌چنگل، ۱۰ نمونه برداشت شده از پهنه‌های دگرسانی برای شناسایی فازهای کانیایی، به روش پراش پراش پرتو X (XRD) تجزیه گردیدند. طیف‌های XRD با دستگاه ساخت شرکت زیمنس (مدل ۵۰۰۰) با پرتوی Cu K $\alpha$ ، تکفام ۴۰ میلی آمپر، سرعت رویش ۲ درجه بر دقیقه در گستره  $2\theta = 20^\circ - 70^\circ$  در سازمان زمین‌شناسی و اکتشافاتمعدنی کشور تهیه شدند. همچنین، مقادیر عناصر اصلی، فرعی و جزئی ۹ نمونه از سنگ‌های آتشفشاری با کمترین درجه دگرسانی و هوازدگی، به ترتیب با طیفسنج فلورسانس پرتوی X (XRF) ساخت شرکت فیلیپس مدل PW 1480 و طیفسنج جرمی پلاسمای جفت شده القایی (ICP-MS) در آزمایشگاه زرآزمای زنجان اندازه‌گیری شدند. برای اندازه‌گیری مقادیر عناصر جزئی و خاکی نادر حدود ۰/۵ گرم از هر نمونه با بورات لیتیم ترکیب و در اسید نیتریک رقیق گردیدند. مقدار مواد فرار (LOI) نمونه‌ها بر اساس اختلاف وزن نمونه‌ها پیش و پس از گرمادهی برای یک ساعت در دمای ۹۵۰ درجه سانتی‌گراد در شرکت یاد شده تعیین شدند. گستره آشکارسازی برای اکسیدها (عناصر اصلی و فرعی) ۰/۰۰۱ تا ۰/۰۱ درصد وزنی، برای عناصر جزئی ۰/۰۲ تا ۱ گرم در تن و برای لانتانیدها ۰/۰۱ تا ۰/۵ گرم در تن بود.

بررسی میانبارهای سیال برای رگه‌های کوارتزی-سولفیدی دربردارنده گالن، کالکوپیریت و پیریت با تهیه و بررسی ۱۰ نمونه دوبر صیقل با میکروسکوپ نوری انجام شد. پس از بررسی‌های نوری، برای ریزدماسنجدی دو تراشه تهیه شده و پارامترهای دمایی میانبارهای سیال با دستگاه گرامایش و سرمایش لینکام مدل THMSG600 متصل به میکروسکوپ

### زمین‌شناسی منطقه

اغلب سنگ‌های آتشفشاری و آذرآواری در منطقه قره‌چنگل مربوط به سازند کرج هستند. عضو کرد کند (سازند کرج) در منطقه به دلیل اثر گسل پاجی ضخامتی حدود ۱۸۰۰-۲۰۰۰ متر دارد و به واحدهای توفی، توفیتی و آتشفشاری قابل تفکیک است. عضو آمند (سازند کرج) در منطقه به واحدهای آتشفشاری توفی، توفیتی و شیل‌های توفی تقسیم می‌شود و در دو طرف رودخانه پاجی حدود ۴۰۰ تا ۵۰۰ متر ضخامت دارد. در کل، واحدهای سنگی منطقه قره‌چنگل را می‌توان به سه بخش کلی تقسیم کرد: (الف) بخش توفیتی شامل واحدهای آذرآواری و آواری بیشتر دربردارنده شیل‌های توفی و لاپیلی توف با رنگ‌های خاکستری روشن تا خاکستری تیره و قرمز است که در دو طرف رودخانه پاجی و پیرامون منطقه قره‌چنگل دیده می‌شوند. بافت سنگ برشی بوده و به شدت دگرسان شده است. (ب) بخش توفی شامل توفهای داسیتی، ریوداسیتی و آندزیتی در غرب رودخانه پاجی گسترش بیشتری دارد. رنگ هوازده آنها سبز، خاکستری یا سفید است و فلدسپارها و کوارتز با بافت پورفیری و آواری، کانی‌های عمدۀ تشکیل دهنده آنها هستند. در بخش‌هایی از این واحدها بر اثر عملکرد توده نفوذی، پهنه‌های کانه‌دار به وجود آمده است. (پ) بخش آتشفشاری شامل واحدهای آندزیت، داسیت و تراکی آندزیت بیشتر از سنگ‌های آتشفشاری متوسط تشکیل شده و بافت عمدۀ آنها پورفیری است و پلازیوکلازها در متن میکروسکوپی دیده می‌شوند. واحدها آواری بوده و بلورهای کوارتز بی‌شکل با لبه‌های خورده شده و خلیجی به صورت درشت بلور هستند و در نمونه دستی کانی گالن به همراه کوارتز دیده می‌شود.

گسل پاجی (گسله قائم با روند شمال شرقی-جنوب غربی) و گسل زه‌آباد مهمترین گسلهای منطقه هستند. حرکت‌های زمین‌ساختی اواخر ائوسن و الیگوسن موجب چین‌خوردگی، گسلش و ایجاد پهنه‌های برشی شده است. این واکنش‌ها، سبب نفوذ و فعالیت سیال‌های گرمایی، رخداد و گسترش فرایندهای دگرسانی و سرانجام، تشکیل رگه‌های کانه‌دار از فلزات گرانیها و پایه شده است. بر پایه شواهد صحرایی، مهمترین رگه‌های کانه‌سازی شده در منطقه دو سامانه رگه‌ای کوارتز-سولفید هستند. آنها با فاصله حدود ۱۰۰ متر از هم دارای راستای شرقی-غربی (روندهای اصلی در منطقه)، شیب تقریبی ۹۰ درجه، درازای کلی ۳۰۰ متر، سبکای متوسط ۱ متر و عمق بیش از ۱۰۰ متر هستند. سنگ‌های میزبان (بیشتر آندزیت و توف) ساخت و بافت‌های برشی، رگه-رگچه‌ای و پرکننده

### کانه‌زایی

رخداد کانه‌زایی در منطقه قره‌چنگل را می‌توان در ۶ دسته کلی در نظر گرفت که در ادامه بیان می‌شود:

**گالن- سروزیت- آنگلزیت:** گالن مهم‌ترین کانی فلزی در این منطقه است که با اندازه چند میکرون تا حدود ۳ میلی‌متر، اغلب به صورت بلورهای نیمه شکل‌دار تا بی‌شکل همراه با اسفالریت و کالکوپیریت تشکیل شده است. این کانه به صورت رگچه‌ای و پر کننده فضای خالی در بین بلورهای کوارتز دیده می‌شود. گالن از لبه‌ها در حال جانشینی به جای کالکوپیریت است. در اثر عملکرد فرآیندهای زمین ساختی طی کانه‌زایی، حفره‌های مثلثی شکل گالن در برخی از بلورها دچار خمیدگی شده‌اند. گالن در برخی موارد، از اطراف و محل شکستگی‌ها در اثر سیال‌های کربنیک توسط سروزیت در حال جایگزینی است. با افزایش سولفیدشدنگی محیط، آنگلزیت نیز در لبه گالن تشکیل شده است. افزون بر این، در لبه برخی از بلورها به ندرت ذرات کوچکی از کانی کوولیت نیز دیده می‌شود (شکل ۳ الف).

**اسفالریت:** این کانه به عنوان فراوان‌ترین کانی سولفیدی، به صورت رگچه‌ای و بی‌شکل پرکننده فضاهای خالی، در شکستگی‌ها و فضای بین برش‌ها دیده می‌شود. گاهی در این کانه، ذرات کوچکی از کالکوپیریت به شکل میانبارهای کوچک قابل مشاهده است. این کانه در برخی از مقاطع، با کالکوپیریت و گالن مرزهای تعادلی دارد (شکل‌های ۳ ب و پ).

زایسنس در آزمایشگاه کانی‌شناسی دانشگاه اصفهان اندازه‌گیری شد. واسنجی دستگاه طی گرمایش با دقت  $0.6^{\circ}$  با ماده استاندارد نیترات سزیم (با نقطه ذوب ۴۱۴ درجه سانتی‌گراد)، و طی سرمایش با دقت  $0.2^{\circ}$  با مایع استاندارد  $n$ -هگزان (با نقطه ذوب  $94.3^{\circ}$  درجه سانتی‌گراد) انجام شد.

### نتایج و بحث

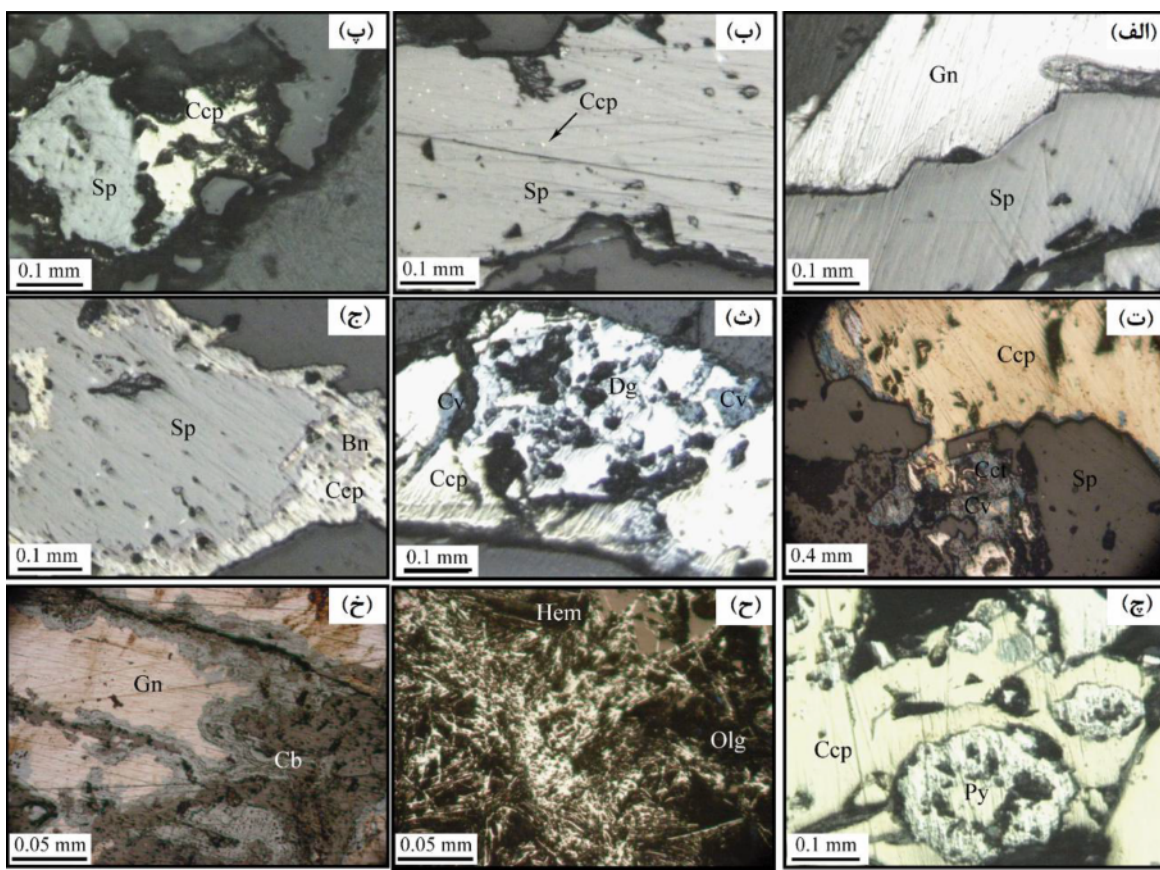
#### دگرسانی‌های همراه

بررسی‌های انجام شده نشان می‌دهد که ضخامت هاله دگرسانی پیرامون رگه‌های کانه‌زا از چند سانتی‌متر تا ۲ متر متغیر بوده و با افزایش فاصله از رگه، به ترتیب شامل دگرسانی‌های سیلیسی، سریسیتی، آرژیلیک و پروپیلیتیک است. بیشترین کانه‌زایی (اغلب به صورت سولفیدی) در نمونه‌های دستی پهنه دگرسانی سیلیسی دیده می‌شود. پهنه دگرسانی سریسیتی در پیرامون پهنه دگرسانی سیلیسی قابل مشاهده است. بر اساس نتایج XRD، سریسیت، کوارتز، پیریت همراه با مقادیر کمتر کائولینیت، کلسیت و اندیریت کانی‌های سازنده این پهنه دگرسانی هستند. دگرسانی آرژیلیک با گسترش بیشتر نسبت به دو دگرسانی یاد شده، دگرسانی سریسیتی را در بر گرفته است. کوارتز، کائولینیت، مونتموریللونیت، ایلیت و مقدار کمی سریزیت و پیریت در این پهنه حضور دارند (جدول ۱). دگرسانی پروپیلیتیک در دورترین فاصله نسبت به محل رگه‌ها گسترش یافته و با کانی‌های شاخص کلریت، اپیدوت، کلسیت

همراه با کوارتز، آلبیت، زئولیت و هماتیت قابل تشخیص است.

جدول ۱ نتایج تجزیه نمونه‌های پهنه‌های دگرسانی مختلف از منطقه قره‌چنگل به روش XRD

شماره نمونه	نوع پهنه دگرسانی	کانی‌های اصلی	کانی‌های فرعی
Alt-1	دگرسانی سریسیتی	سریسیت، کوارتز، پیریت	کائولینیت، کلسیت و اندیریت
Alt-2	دگرسانی سریسیتی	سریسیت، کوارتز	پیریت، کلسیت
Alt-3	دگرسانی سریسیتی	سریسیت، کوارتز، پیریت	کائولینیت، کلسیت
Alt-4	دگرسانی آرژیلیک	کوارتز، کائولینیت، مونتموریللونیت	پیریت، ایلیت
Alt-5	دگرسانی آرژیلیک	کوارتز، کائولینیت	ایلیت، مونتموریللونیت
Alt-6	دگرسانی آرژیلیک	کوارتز، کائولینیت، مونتموریللونیت	ایلیت
Alt-7	دگرسانی آرژیلیک	کوارتز، کائولینیت، ایلیت	سریزیت، پیریت
Alt-8	دگرسانی پروپیلیتیک	کلریت، اپیدوت	کوارتز، زئولیت و هماتیت
Alt-9	دگرسانی پروپیلیتیک	کلریت، اپیدوت، کلسیت	کلسیت، آلبیت
Alt-10	دگرسانی پروپیلیتیک	کلریت، اپیدوت	کلسیت، هماتیت



شکل ۳ تصاویر میکروسکوپی از رخداد کانه‌زایی در منطقه قره‌چنگل. (الف) کانه‌زایی گالن (Gn)، (ب) بلورهای درشت اسفالریت (Sp) با میانبارهای کوچکی از کالکوپیریت (Ccp)، (پ) هم رشدی اسفالریت با کالکوپیریت، (ت) بلورهای کالکوپیریت که از لبه به کوولیت (Cv) و کالکوسیت (Cct) تبدیل شده‌اند، (ث) جانشینی کوولیت و دیژنیت (Dg) به جای کالکوپیریت، (ج) بلورهای کالکوپیریت در برگیرنده اسفالریت که خود از لبه‌ها به بورنیت (Bn) تبدیل شده است، (چ) کانه‌زایی کالکوپیریت به صورت لکه‌ای همراه با پیریت (Py) با بافت گل‌کلمی، (ح) بلورهای کشیده هماتیت (Hem) همراه با سنتگدانه‌های سوزنی شکل اولیژیست (Olg) و (خ) اکسایش سرب و تشکیل کانی‌های کربناتی (Cb). همه تصاویر در نور بازتابی تهیه شده‌اند.

بلورهای کوارتز دیده می‌شود. پیریت در برخی از نمونه‌ها به شدت متحمل دگرگشکلی شده (شکل ۳ چ) و در اثر دگرسانی بروونزاد، در حال تبدیل به هماتیت و گوتیت است. مگنتیت- هماتیت- گونیت- الیژیست: اغلب بلورهای مگنتیت به طور کامل با هماتیت و یا گوتیت جانشین شده‌اند. هماتیت- های بی‌شکل به همراه گوتیت، اغلب به صورت رگجه‌ای در شکستگی‌ها تشکیل شده‌اند. الیژیست به صورت بلورهای باریک و کشیده در اندازه‌هایی در گستره ۳ تا ۱۵۰ میکرون در فضاهای خالی تشکیل شده‌اند. انباست این کانه به ندرت به صورت دسته‌های شعاعی شکل نیز دیده می‌شود (شکل‌های ۳ ح و خ). طلا: در مقاطع میکروسکوپی، طلا به دو صورت آزاد و بدون درگیری با سایر کانی‌ها و در لبه‌های اسفالریت دیده می‌شود (شکل ۴ الف، ب و پ).

**کالکوپیریت- بورنیت- کوولیت- کالکوسیت:** کالکوپیریت مهمترین کانه مس‌دار در ذخیره قره‌چنگل است. بلورهای کوچک‌تر این کانه به ندرت توسط بورنیت، هماتیت، کوولیت و کالکوسیت جایگزین شده‌اند (شکل ۳ ت). رگجه‌های کالکوپیریت نیمه شکل دار تا شکل دار همراه با گالن و اسفالریت و گاهی با پیریت به صورت پرکننده فضاهای خالی در واحدهای برشی و نیز در اسفالریت دیده می‌شوند. کوولیت، دیژنیت (شکل ۳ ث) و کالکوسیت از لبه‌ها در حال جانشین شدن به جای کالکوپیریت هستند. بورنیت به همراه کلسیت و کوارتز نیز در برخی از مقاطع مورد بررسی دیده می‌شود (شکل ۳ چ). ملاکیت نیز از فراآوردهای دگرسانی کالکوپیریت است. پیریت: این کانه اغلب در کنار اسفالریت و گاهی هماتیت با کالکوپیریت در رگجه‌های کوارتزی و در فضای خالی بین



شکل ۴ حضور طلا در مقاطع میکروسکوپی (نور بازتابی) (الف و ب) به صورت آزاد و بدون درگیری با سایر کانی‌ها و (پ) در لبه‌های اسفالریت.

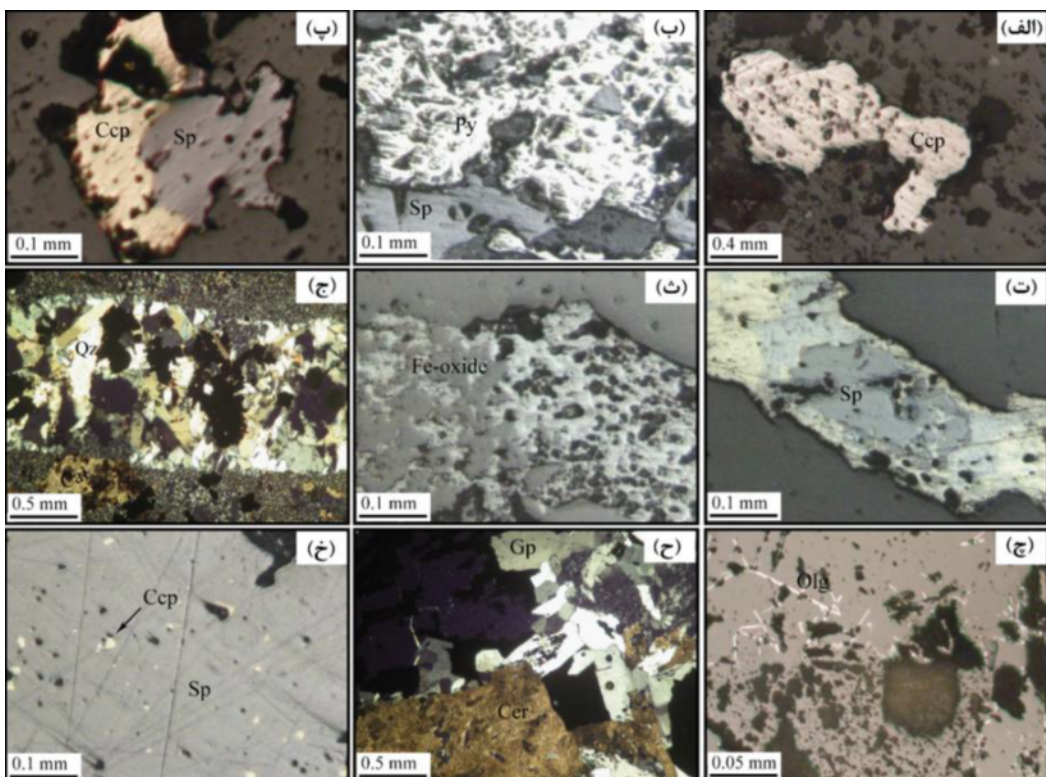
بافت پرکننده فضاهای خالی در نتیجه حضور کانه‌های گالن و اسفالریت همراه با کالکوپیریت و پیریت در فضاهای خالی بین بلورهای کوارتز در رگچه‌های کانه‌زایی شده ایجاد گردیده است (شکل ۵ پ).

بافت جانشینی نتیجه جانشینی گالن و اسفالریت به جای کالکوپیریت و جانشینی کالکوپیریت از لبه با بورنیت، کولولیت و کالکوسیت است (شکل ۵ ت).

**بافت ماده معدنی**  
چند بافت در رگه‌ها و رگچه‌های کانه‌زا قابل تشخیص هستند که در ادامه بیان می‌شوند.

بافت دانه پراکننده ناشی از توزیع پراکننده بلورهای بی‌شکل تا نیمه‌شکل‌دار پیریت و کالکوپیریت در توف‌ها و قطعه‌های برشی است (شکل ۵ الف).

بافت آواری مربوط به رگچه‌های پیریتی و کالکوپیریتی است (شکل ۵ ب).



شکل ۵ تصاویر میکروسکوپی از رخداد کانه‌زایی در منطقه قره‌چنگل: (الف) بلور کالکوپیریت (Ccp) افshan در واحد توفی، (ب) پیریت (Py) خرد شده همراه با اسفالریت (Sp) در برش گرمایی، (پ) تشکیل کالکوپیریت به همراه اسفالریت در فضای خالی، (ت) حضور اسفالریت در رگچه‌های کانه‌زایی شده، (ث) رگچه اکسید آهن (هماتیت)، (ج) حضور کانی‌های تیره در رگچه کوارتزی (Qz) به همراه کلسیت (Cal)، (ج) بلورهای الیژیست (Olg) با بافت سوزنی و تیغه‌ای در باطله کوارتر، (ح) بلورهای تیغه‌ای و سوزنی سروزیت (Gp)، سنگ گچ (Cer) در پهنه کانه‌زایی شده. (خ) بافت نامیختگی اسفالریت با کالکوپیریت. تصاویر ج و ح در نور شکستی قطبیده مقاطع (XPL) و بقیه تصاویر در نور بازتابی تهیه شده‌اند.

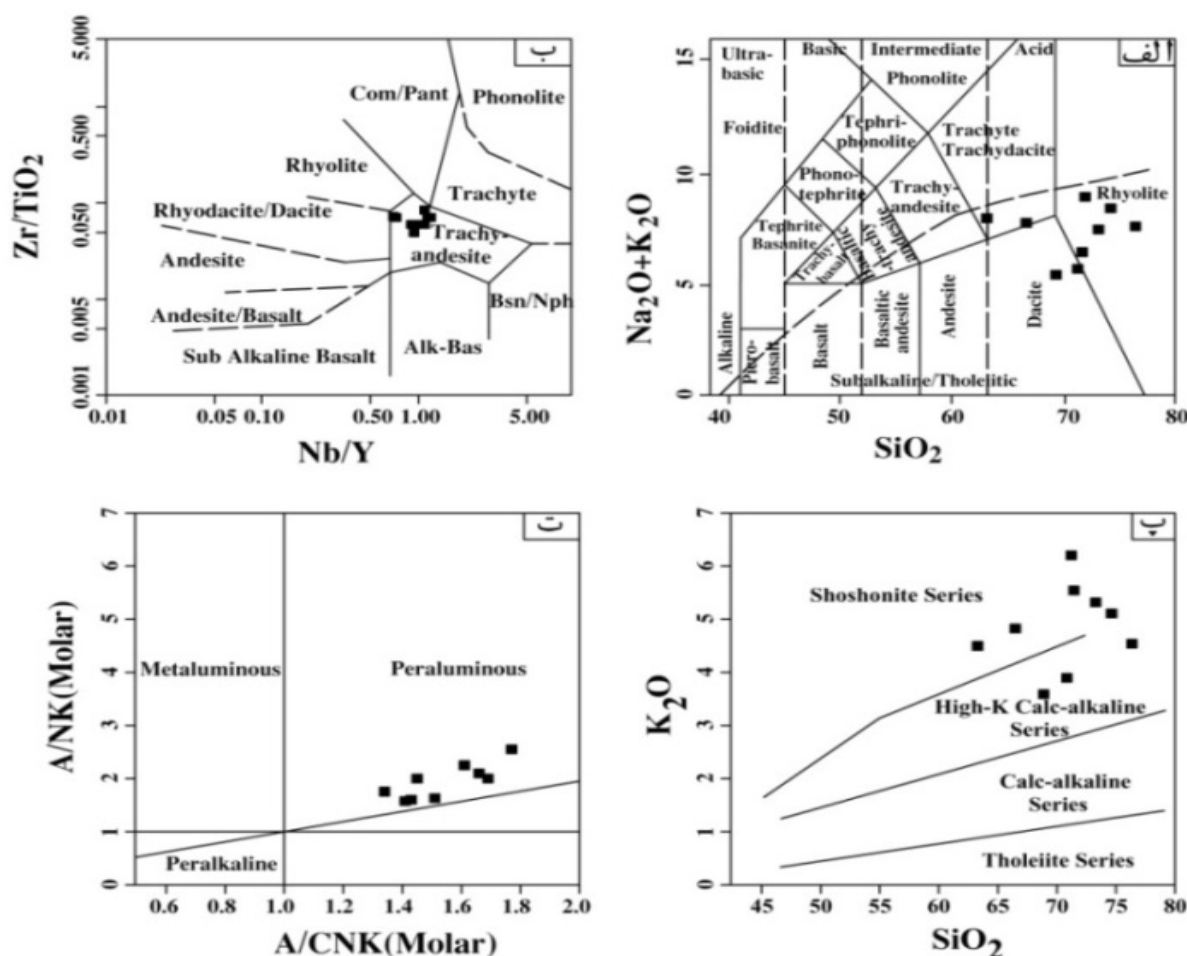
آتشفشاری به ترتیب در گستره‌های ۶۳/۱۲، ۷۶/۲۰، ۳/۵۸ و ۶/۲۲ و ۰/۴۳ تا ۳۶۰ درصد وزنی در تغییر است. مجموع  $K_2O+Na_2O$  در این سنگ‌ها در گستره ۵/۵۲ تا ۹/۰۳ درصد وزنی تغییر می‌کند. رده بندی واحدهای آتشفشاری بر پایه نسبت اکسیدهای اصلی در نمودار  $SiO_2$  نسبت به  $(K_2O+Na_2O)$  [۷] نشان می‌دهد که واحدهای آتشفشاری منطقه در سه گروه ریولیت، داسیت و تراکیت-ترکی داسیت جای می‌گیرند (شکل ۶ الف). از آنجاکه این سنگ‌ها کمابیش دستخوش فرآیندهای دگرسانی شده‌اند، برای نامگذاری دقیق‌تر از نمودار  $Nb/Y$  نسبت به  $Zr/TiO_2$  [۸] استفاده شد. بر این اساس، همه سنگ‌های آتشفشاری ترکیب در حد تراکی آندزیت دارند (شکل ۶ ب). بر پایه نمودار  $K_2O/SiO_2$  [۹]، سنگ‌های آتشفشاری مورد بررسی از سری ماقمایی آهکی قلیایی پتابسیم بالا تا شوشوئیتی هستند (شکل ۶ پ). بر اساس نمودار دومتغیره  $Al_2O_3/(Na_2O+K_2O)$  نسبت به  $Al_2O_3/(CaO+Na_2O+K_2O)$  [۱۰]، واحدهای سنگی نام برده در گستره پرآلومین قرار دارند (شکل ۶ ت).

بافت رگه-رگچه‌ای رایج‌ترین بافت در ذخیره قره‌چنگل و شامل کانه‌های سولفیدی و اکسیدی است. در این بافت، کالکوپیریت به صورت بلورهای نیمه شکل‌دار تا شکل‌دار همراه با بلورهای نیمه‌شکل‌دار پیریت و بلورهای درشت بی‌شکل اسفالریت در رگچه‌های کوارتزی و در بلور توف ریولیتی دیده می‌شود. افزون بر این، پیریت به صورت رگچه‌ای در برش گرمابی نیز قابل مشاهده است (شکل‌های ۵ ث و ج). بافت تیغه‌ای در برش‌های گرمابی دیده می‌شود که در آن بلورهای تیغه‌ای و سوزنی شکل ایژیست در بین بلورهای درشت کوارتز حضور دارند (شکل‌های ۵ ج و ح). بافت ناامیختگی در بردارنده هم رشدی کانی‌های کالکوپیریت و اسفالریت به صورت دسته‌های موازی و در راستای مشخص است (شکل ۵ خ).

**زمین‌شیمی سنگ‌های درونگیر آتشفشاری**  
مقادیر عناصر اصلی، فرعی و جزئی سنگ‌های آتشفشاری میزان رگه-رگچه‌های کانه‌دار منطقه قره‌چنگل در جدول ۲ ارائه شده است. بر این اساس، مقدار  $Na_2O$  و  $K_2O$  نسبت به  $SiO_2$  و  $TiO_2$  میزان رگه‌های

جدول ۲ نتایج تجزیه شیمیایی سنگ‌های آتشفشاری میزان رگه‌های کانه‌زایی منطقه قره‌چنگل.

نمونه	حد آشکارسانه	R-1	R-2	R-3	R-4	R-5	R-6	R-7	R-8	R-9
$SiO_2$ (wt%)	۰.۱	۷۱.۴۴	۷۴.۰۸	۷۲.۹۶	۷۶.۲۰	۷۱.۱۵	۶۳.۱۲	۶۹.۲۷	۶۶.۶۱	۷۱.۷۲
$Al_2O_3$	۰.۱	۱۲.۴۲	۱۳.۵۰	۱۳.۲۰	۱۲.۶۴	۱۲.۲۲	۱۶.۲۵	۱۴.۲۰	۱۶.۷۵	۱۴.۵۱
$Fe_2O_3$	۰.۱	۱.۶۷	۱.۱۶	۱.۴۴	۱.۰۶	۱.۷۱	۲.۹۶	۲.۱۷	۳.۲۷	۱.۹۱
$CaO$	۰.۱	۱.۳۰	۱.۹	۲.۲۳	۰.۶۴	۲.۳۶	۳.۹	۲.۵۲	۲.۱۷	۱.۰۹
$K_2O$	۰.۱	۶.۲۲	۵.۱۰	۵.۲۳	۴.۵۵	۳.۹۰	۴.۵۱	۳.۵۸	۴.۸۳	۵.۵۵
$MgO$	۰.۱	۱.۰۱	۰.۴۵	۰.۹۳	۰.۳۷	۱.۱۷	۱.۱۸	۱.۰۵	۰.۳۹	۰.۳۶
$MnO$	۰.۰۱	۰.۰۷	۰.۰۶	۰.۱۹	۰.۰۵	۰.۰۹	۰.۱۱	۰.۱۰	۰.۱۲	<۰.۵
$Na_2O$	۰.۱	۰.۴۳	۳.۴۰	۲.۱۵	۳.۱۸	۱.۹۵	۳.۶۰	۱.۹۴	۳.۰۶	۳.۴۸
$P_2O_5$	۰.۰۱	۰.۱۰	۰.۰۷	۰.۰۸	۰.۰۷	۰.۱۲	۰.۲۱	۰.۱۰	۰.۲۳	۰.۱۷
$TiO_2$	۰.۰۱	۰.۶۰	۰.۳۳	۰.۲۲	۰.۳۳	۰.۴۱	۰.۸۴	۰.۰۵	۰.۴۲	۰.۳۵
L.O.I	-	۳.۶۵	۰.۶۶	۰.۷۹	۰.۷۹	۳.۷۲	۲.۹۳	۴.۴۷	۱.۹۶	۰.۷۶
مجموع	-	۹۹.۹۱	۹۹.۹۰	۹۹.۷۲	۹۹.۸۸	۹۹.۸	۹۹.۷۹	۹۹.۹۵	۹۹.۸۷	۹۹.۹۰
Ba (ppm)	۰.۲	۱.۴۰	۱.۰۳۳	۹.۹۷	۱۳.۰۲	۹.۳۱	۶۶۷	۴۴۹	۸.۹۵	۸۸۵
Cs	۰.۱	۱۲.۴	۱.۴	۲.۱	۲۲	۶.۵	۶.۸	۹.۵	۳.۵	۱.۵
U	۰.۰۲	۲	۲.۹	۴.۳	۵	۲.۸	۲.۶	۲.۸	۳.۴	۴.۱
Nb	۰.۵	۱۸.۱	۲۱.۶	۲۱.۴	۲۱	۲۴.۱	۱۷.۵	۲۰.۵	۱۱.۴	۱۰.۳
Rb	۰.۱	۱۴۱	۹۱	۱۴۵	۷۸	۱۳۵	۱۶۲	۱۵۴	۱۴۲	۱۳۸
Sr	۰.۱	۸۶۷	۱۶۸۲	۱۹۱۸	۴۶۲۵	۱۶۸۷	۲۶۱۳	۱۹۷	۲۲۷۶	۱۶۶
Ta	۰.۰۱	۰.۹۶	۱.۷۲	۲	۱.۷۸	۲.۰۸	۱.۰۹	۱.۳۹	۰.۵	۰.۶
Pb	۰.۲	۷.	۴۰	۵۰	۲۰	۲۴	۵۳	۲۲	۲۸۶	۳۶۵
Th	۰.۰۲	۷.۸۴	۱۳.۵۴	۱۳.۳۷	۱۴.۵۵	۱۲.۲	۵.۶۴	۱۱.۴۹	۱۱.۲۳	۱۴.۹۱
Zr	۱	۱۲۹	۱۱۰	۱۰۷	۱۳۵	۹۰	۸۹	۱۰.۸	۱۴۳	۱۰.۸
Y	۰.۰۵	۱۶.۴	۱۵.۸	۱۶.۵	۱۸.۱	۲۰.۶	۱۸.۳	۱۶.۷	۱۴.۷	۱۶.۳
La (ppm)	۰.۵	۲۲	۲۳	۲۳	۲۵	۳۶	۲۸	۳۴	۲۶	۲۲
Ce	۰.۵	۴۳	۵۶	۶۲	۶۳	۶۹	۴۹	۵۷	۵۴	۵۹
Pr	۰.۰۵	۵۲۶	۶۱۵	۶۲۲۲	۶۵۱	۸.۱۱	۶.۶۲	۶.۸۵	۴.۸۹	۵.۷۵
Nd	۰.۵	۲۰.۵	۲۱.۳	۲۱.۱	۲۲.۹	۲۹.۳	۲۷	۲۵.۹	۱۸.۵	۱۹.۷
Sm	۰.۰۲	۳۷۴	۲۶۸	۲۶۳	۳۸۱	۵۵۹	۵.۰۲	۴.۶	۳.۲۷	۳
Eu	۰.۰۱	۱۳۳	۰.۸۴	۰.۹۲	۰.۹۸	۱.۳۴	۱.۷۳	۱.۲۷	۱.۰۳	۰.۷۳
Gd	۰.۰۵	۳۲۶	۲۲۹	۳۵۲	۳۷	۴.۸۸	۴.۴۶	۴.۱۳	۲.۲۳	۲.۲۵
Tb	۰.۰۱	۰.۵۱	۰.۵۴	۰.۵۶	۰.۵۶	۰.۷۳	۰.۶۸	۰.۶۲	۰.۵۴	۰.۵۴
Dy	۰.۰۲	۳۳۹	۲۲۵	۳.۱۷	۳.۵۱	۴.۳۶	۳.۹۱	۳.۷۷	۲.۵۶	۲.۸۲
Er	۰.۰۵	۱۹۹	۲.۰۴	۱.۸۲	۲.۱۴	۲.۳۳	۱.۹۱	۲.۱۱	۲.۰۴	۲.۲۴
Tm	۰.۰۱	۰.۳۸	۰.۳۳	۰.۳۶	۰.۳۵	۰.۳۸	۰.۲۸	۰.۳۲	۰.۳۲	۰.۳۱
Yb	۰.۰۱	۱.۸	۱.۵	۱.۶	۱.۸	۱.۸	۱.۶	۱.۶	۱.۶	۱.۶
Lu	۰.۰۱	۰.۴۲	۰.۴	۰.۴۹	۰.۴۷	۰.۴۳	۰.۲۸	۰.۳۵	۰.۱	۰.۱
$(Ce,Yb)_N$	-	۶.۱۹	۹.۷۳	۱۰.۰۵	۸.۸۹	۹.۹۴	۷.۹۵	۹.۲۵	۷.۶	۹.۶
$Eu/Eu'$	-	۱.۱۹	۰.۷۵	۰.۸۱	۰.۸۲	۰.۸۱	۱.۱۶	۰.۹۲	۱.۱۹	۰.۱۰
$(La,Yb)_N$	-	۸.۲۸	۱۴.۹۹	۱۳.۹۹	۱۳.۱۷	۱۳.۵۵	۱۱.۸۷	۱۴.۴	۱۱.۰۵	۱۳.۵۵



شکل ۶ (الف) نمودار درصد  $\text{SiO}_2$  نسبت به مجموع  $\text{K}_2\text{O}+\text{Na}_2\text{O}$  [۷]. برای نامگذاری سنگ‌های آتشفشنای منطقه قره‌چنگ (ب) نمودار دو متغیره  $\text{Zr}/\text{TiO}_2$  نسبت به  $\text{Nb}/\text{Y}$  [۸] برای رده‌بندی سنگ‌های آتشفشنای منطقه قره‌چنگ (پ) در نمودار دو متغیره  $\text{K}_2\text{O}$  نسبت به  $\text{SiO}_2$  و موقعیت سنگ‌های آتشفشنای منطقه قره‌چنگ بر آن (ت) نمودار دو متغیره  $\text{A}/\text{CNK}$  نسبت به  $\text{A}/\text{NK}$  [۱۰] و موقعیت سنگ‌های آتشفشنای منطقه قره‌چنگ بر آن (ت).

(الف) نشان دهنده تشکیل ماغما در عمق کمتر از گستره پایداری گارنت و یا کم بودن این مقدار در خاستگاه است (جدول ۲). براساس نسبت  $\text{Ce}/\text{Yb}$  می‌توان تا حدی عمق و نرخ ذوب سنگ مولد را تشخیص داد. کم بودن این مقدار بیانگر خاستگاه ماغما در عمق کم یا نرخ ذوب بالاست. از آنجاکه این نسبت در همه نمونه‌های مورد بررسی کمتر از ۱۰۰۵ است، خاستگاه ماغما در قسمت‌های بالای گوشته است.

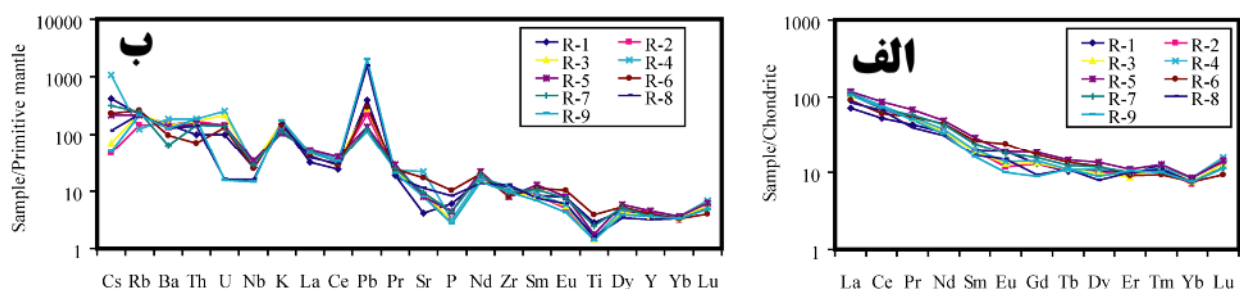
مقدادر بی هنجاری  $(\text{Eu}/\text{Eu}^* = \text{Eu}_{\text{N}}/[(\text{Sm}_{\text{N}} \times \text{Gd}_{\text{N}})^{0.5}])$  در سنگ‌های آتشفشنای در گستره  $1/19$  تا  $0/75$  [۱۵] است. وجود بی هنجاری منفی  $\text{Eu}$  (در اغلب نمونه‌ها) از ویژگی‌های گدازه‌های آهکی قلیابی پتابسیم بالا تا شوشوونیتی وابسته به فروراش بوده و بیانگر حضور جزئی پلازیوکلاز به عنوان فاز

در الگوی توزیع عناصر خاکی نادر (REE) بهنجار شده به کندریت [۱۱]، غنی شدگی متوسطی از LREE‌ها نسبت به HREE‌ها در این سنگ‌ها دیده می‌شود (شکل ۷ (الف)). این نوع الگوی غنی شدگی از مشخصه‌های ماغماهای وابسته به پهنه فرورانش است [۱۲]. در الگوی توزیع عناصر بهنجار شده به گوشتیه اولیه [۱۳]، غنی شدگی عناصر سنگ دوست بزرگ یون (LILE) مانند  $\text{K}$ ,  $\text{Cs}$  و  $\text{Ba}$  نسبت به عناصر با شدت میدان بالا (HFSE) مانند  $\text{Ti}$ ,  $\text{Nb}$  و  $\text{Zr}$  دیده می‌شود (شکل ۷ (ب)) که می‌تواند به دخالت صفحه فرورونده و آغشتنگی جزئی ماغما با پوسته قاره‌ای نسبت داده شود [۱۴]. در نمودار REE‌های بهنجار شده نسبت به کندریت [۱۱]، مقدار کم  $(\text{La}/\text{Yb})_{\text{N}}$  در همه سنگ‌های آتشفشنایی به همراه الگوی REE‌ها (شکل ۷

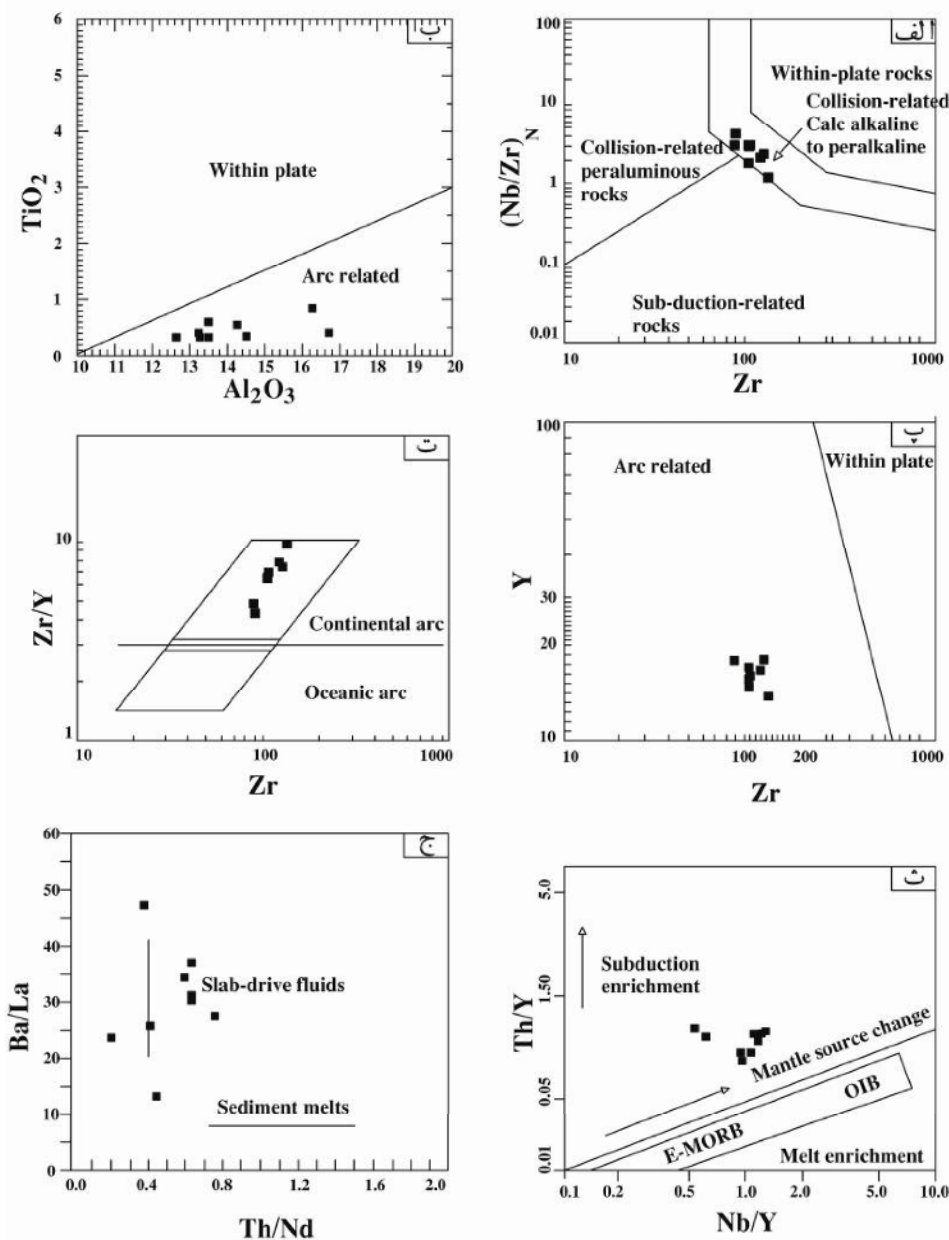
سیال آزاد شده از سنگ کره فرورو نامحلول هستند و از اینرو، بی هنجاری منفی نشان می‌دهند. بی هنجاری منفی Ti و Zr ناشی از باقی ماندن آنها در ساختار کانی‌های مانند تیتانیوم‌مگنتیت، ایلمنیت و زیرکن است. کانی‌های تیتانیوم‌دار اگر در مagma‌های مولد در مخزن باقی مانده باشند، موجب بی هنجاری منفی از Ti می‌شوند [۱۹]. در پهنه‌های فرورانش، گریزندگی  $O_2$  بالا بوده و دمای بالایی برای ذوب کانی‌های Ti دار نیاز است. به دلیل فراهم نشدن شرایط ویژه دمایی، این عنصر در فازهای تیتانیوم‌دار باقی ماند و بی هنجاری منفی نشان می‌دهد. بی هنجاری منفی Nb شاخص مناطق فرورانش و از ویژگی‌های magma‌های برآمده از پوسته اقیانوسی در پهنه فرورانش است [۱۲]. مقادیر منفی Nb همچنین می‌توانند ناشی از خداد تهی‌شدگی پیشین در سنگ مخزن گوشته باشد [۲۰]. سنگ‌های آتشفسانی منطقه قره‌چنگل بر اساس نمودار Zr/N (Nb/Zr)<sub>N</sub> نسبت به Zr در محیط‌های برخوردی آهکی قلیایی تا پرقلیایی تشکیل شده‌اند [۲۱] (شکل ۸ الف). بر اساس نمودارهای دو متغیره  $TiO_2$ - $Al_2O_3$  [۲۲] (شکل ۸ ب) و -Zr-Y [۲۳] (شکل ۸ پ)، سنگ‌های آتشفسانی مورد بررسی در گستره کمان آتشفسانی جای دارند. برای تعیین نوع کمان آتشفسانی از نمودار Zr/Y نسبت به Zr [۲۴] استفاده شد. بر این اساس، سنگ‌های آتشفسانی در کمان قاره‌ای قرار دارند (شکل ۸ ت). کمان‌های قاره‌ای نسبت به کمان‌های اقیانوسی از  $SiO_2$  غنی‌تر هستند و بی هنجاری مثبت‌تری از عناصر K, Rb و U را نشان می‌دهند [۲۵].

باقی مانده طی ذوب بخشی است [۱۶]. از نظر ترمودینامیکی، بی هنجاری Eu در سیال‌های گرمابی به شدت به دما، pH و گریزندگی اکسیژن بستگی دارد [۱۷]. در نمودار بهنجار شده نسبت به گوشته اولیه [۱۳]، غنی‌شدگی از HFSE‌ها دیده می‌شود. عناصر سنگ دوست بزرگ یون چون Ba, Sr و K تحرک بالایی در سیال‌های آبی از خاستگاه پوسته اقیانوسی فرورو دارند که ورود آنها به گوشته نیز این بی هنجاری مثبت را ایجاد می‌کند (شکل ۷ ب) [۱۸]. نسبت Sr/Y در سنگ‌های آتشفسانی در گستره ۵/۲۹ تا ۲۵/۵۵ متغیر است. Sr عنصری سازگار در کانی پلازیوکلаз است، به طوریکه ذوب و ناپایدار شدن پلازیوکلاز باعث آزادسازی Sr و ایجاد بی هنجاری مثبت می‌شود. از طرفی، عنصر Y به شدت در کانی گارنت سازگار بوده و غنی‌شدگی از این عنصر نشانه وجود مقداری گارنت در سنگ خاستگاه و ناپایدار شدن آن است. مقادیر پایین نسبت Sr/Y در نمونه‌های مورد بررسی برپایه فراوانی کانی‌های پلازیوکلاز، گارنت و آمفیبول در فاز باقی مانده توضیح داده می‌شود، به طوریکه مقادیر بالاتری از پلازیوکلاز و آمفیبول به همراه مقدار کمتری از گارنت در فاز باقی مانده سبب ایجاد نسبت پایین Sr/Y در گدازه می‌شود. این امر بیانگر حضور جزئی پلازیوکلاز در فاز باقی مانده بوده و توجیه کننده بی هنجاری منفی جزئی Eu است.

در نمودار عنکبوتی بهنجار شده نسبت به گوشته اولیه، عناصر Ti, Nb و Zr بی هنجاری منفی نشان می‌دهند (شکل ۷ ب). این عناصر دارای پتانسیل یونی بالا بوده و در نتیجه در



شکل ۷ الف) الگوی توزیع REE‌های بهنجار شده به کندریت [۱۱] و ب) نمودار فراوانی عناصر جزئی و خاکی‌نادر بهنجار شده به گوشته اولیه [۱۲] برای سنگ‌های آتشفسانی منطقه قره‌چنگل.



شکل ۸ تعیین جایگاه زمین ساختی سنگ‌های آتشفشاری منطقه قره‌چنگل بر اساس (الف) نمودار دو متغیره  $(\text{Nb}/\text{Zr})_N$  نسبت به  $\text{Zr}$  [۲۱]. (ب) نمودار دو متغیره  $\text{TiO}_2$  نسبت به  $\text{Al}_2\text{O}_3$  [۲۲]. (پ) نمودار دو متغیره  $\text{Zr/Y}$  نسبت به  $\text{Zr}$  [۲۳]. (ت) نمودار دو متغیره  $\text{Y}$  نسبت به  $\text{Zr}$  [۲۴]. (ث) نمودار دو متغیره  $\text{Th/Nd}$  نسبت به  $\text{Ba/La}$  [۲۵]. (ج) نمودار دو متغیره  $\text{Th/Y}_{1.50}$  نسبت به  $\text{Nb/Y}$  [۲۶].

شد [۲۶] (شکل ۸ ج). بر پایه پژوهش وود [۲۷]، نسبت  $\text{Ba/La}$  برای بازالت‌های پشتۀ میان اقیانوسی نوع مورب غنی- $\text{N}$ -شده (E-MORB) برابر با ۱۰ تا ۱۵، برای نوع تھی شده (-MORB) حدود ۴ تا ۱۰ و برای مرزهای واگرا بیش از ۱۵ است. این نسبت برای سنگ‌های آتشفشاری منطقه بین  $13/2$  تا  $47/2$  متغیر بوده که نشانه غنی‌شدگی گوشته توسعه سیال‌های برآمده از فروزانش و بازالت‌های پشتۀ میان اقیانوسی نوع

خاستگاه مagma مولد سنگ‌های آتشفشاری منطقه قره-چنگل بر اساس نمودار دو متغیره  $\text{Th/Y}_{1.50}$  نسبت به  $\text{Nb/Y}$  [۲۳]، در فاصله بین گوشته تغییر یافته و گوشته غنی‌شده فروزانش قرار دارد (شکل ۸ ث). برای تعیین نقش سیال‌های برآمده از فروزانش و دگرنهادی وابسته به رسوپ‌های فروزنده در magma به وجود آورنده سنگ‌های آتشفشاری منطقه مورد بررسی از نمودار دو متغیره  $\text{Ba/La}$  نسبت به  $\text{Th/Nd}$  استفاده

افزون بر سدیم، دربردارنده نمک‌های منیزیم، پتاسیم، کلسیم، آهن و منگنز نیز بوده باشد [۲۸]. میزان شوری در کانسارهای فراگرمایی غنی از فلزات پایه-نقره، ۲۳-۱۲ درصد وزنی و در کانسارهای نوع عمیق‌تر فراگرمایی سولفیدشدنگی پایین، ۳ تا ۱۰+ درصد وزنی معادل نمک طعام است [۱۹] که با نتایج ریزدماسنجی میانبارهای سیال ذخیره قره‌چنگل همخوانی دارد. مقایسه نتایج ریزدماسنجی میانبارهای میانبار سیال با نمودار مرجع [۲۹]، نشان می‌دهد که داده‌های میانبار سیال منطقه قره‌چنگل در گستره کانسارهای فراگرمایی واقع است (شکل ۱۱ (الف)). با رسم مقادیر دمای همگن شدگی و شوری بر یک نمودار، می‌توان چگالی سیال را بدون توجه به شرایط به دام افتادن آن تعیین کرد [۲۹]. بر این اساس، چگالی میانبارهای سیال در منطقه معدنی قره‌چنگل برابر با ۹ تا ۱۰ گرم بر سانتی متر مکعب است (شکل ۱۱ (ب)). شوری و دمای بیشتر سیال‌های گرمابی در طول مراحل آخر تشکیل ذخیره کاهش می‌یابد که بیانگر کاهش دما و یا اضافه شدن آب جوی است (۱۱(پ)). نمودار شکل ۱۱ پ روندی از آمیختگی یک سیال گرمابی با شوری و دمای بالاتر با سیالی با دما و شوری پایین‌تر را نشان می‌دهد که با ترکیبی از فرایندهای رقیق شدگی و آمیختگی همخوانی دارد. سیال رقیق کننده می‌تواند آب‌های با خاستگاه جوی بوده باشد. بر اساس یافته‌های رودر [۳۰]، همراهی و همزمانی میانبارهای سیال غنی از گاز و میانبارهای سیال غنی از مایع و نیز وجود سیال‌های با شوری بالا همراه با میانبارهای سیال با شوری پایین نشانگر پدیده جوشش در سامانه‌های گرمابی کانه‌زایی منطقه قره‌چنگل است. با انطباق دمای همگن شدگی و مقدار شوری میانبارهای سیال (بر حسب درصد وزنی معادل نمک طعام) [۳۱]، کمترین عمق کانه‌زایی در ذخیره قره‌چنگل ۴۰۰ متر زیر سطح ایستابی قدیمی به دست می‌آید (شکل ۱۱ (ت)).

#### نوع کانی‌سازی

با توجه به مطالب بیان شده و شواهد زیر در کل می‌توان گفت که کانه‌زایی منطقه قره‌چنگل بیشترین شباهت را به کانسارهای فراگرمایی سولفیدشدنگی پایین دارد: ۱- شرایط زمین‌ساختی قوس آتشفسانی قاره‌ای برپایه بررسی‌های زمین‌شیمیایی بر سنگ‌های آتشفسانی درونگری، ۲- همراهی ذخیره با سنگ‌های آتشفسانی تراکی آندزیت، ریوداسیت و ریولیت، ۳- کانه‌زایی اسفالریت، گالن، کالکوبیریت و طلا ( $Zn+Pb+Cu+Au$ )، ۴-

مورب غنی شده (E-MORB) است (شکل ۸ (ج)). مواردی چون نسبت پایین  $La/Yb_N$ ،  $8/28$  تا  $14/99$ ، الگوی REE‌های هنجار شده نسبت به کندریت و نسبت پایین  $Ce/Yb_N$ ،  $6/19$  تا  $10/05$ ، به همراه مقدار Yb کمتر از ۲ نشان می‌دهند که گارنت به صورت جزئی در خاستگاه ماقمای مولد سنگ‌های آتشفسانی منطقه حضور دارد.

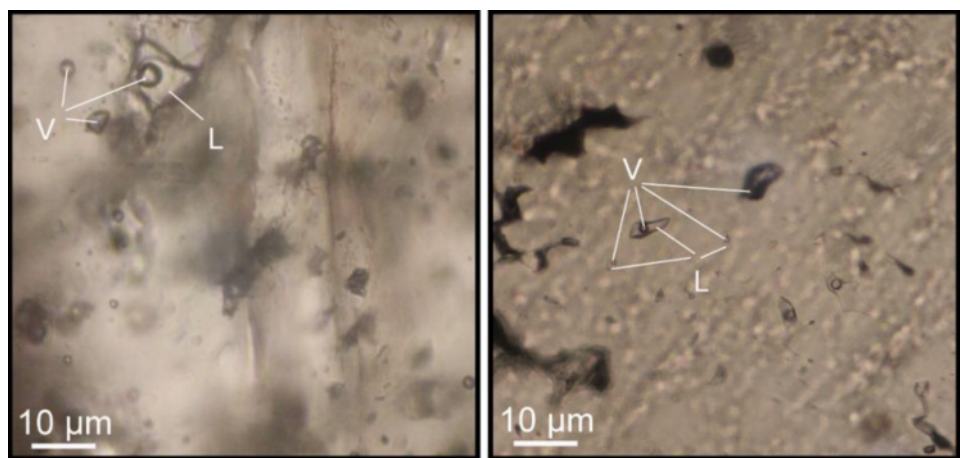
#### بررسی میانبارهای سیال

**سنگنگاری میانبارهای سیال:** ویژگی‌هایی چون نوع میانبار سیال (اولیه، ثانویه یا ثانویه کاذب)، شکل، اندازه، نسبت‌های فازی و چگونگی گسترش هندسی میانبارهای سیال بررسی شدن. با توجه به سازای میانبارها و معیارهای تشخیص میکروسکوپی، هیچ شاهدی از حضور  $CO_2$  مایع یا گاز و کانی‌های نوزاد در میانبارها دیده نشد. اندازه میانبارهای مورد بررسی حدود ۸ تا ۱۵ میکرون با بیشترین فراوانی در گستره ۸ تا ۱۰ میکرون است (شکل ۹). میانبارها بیشتر به شکل‌های بیضی مانند، چارگوش و میله‌ای دیده می‌شوند. میانبارهای سیال اولیه به صورت دوفازی شامل از مایع و گاز ( $L + V$ ) بدون فاز جامد بوده و اغلب آنها سیال‌های درگیر غنی از مایع هستند. فاز مایع در آنها معمولاً ۸۰-۷۰ درصد حجم کلی سیال است. به ندرت سیال‌های دوفازی غنی از گاز ( $L + V$ ) با ۵ درصد فاز مایع و سیال‌های درگیر تک فازی گاز ( $V$ ) نیز دیده می‌شود که با توجه به دمای همگن شدگی غیرمتعارف و تعداد محدود، به احتمال بسیار ناشی از پدیده‌های ثانویه هستند.

**ریزدماسنجی میانبارهای سیال:** نتایج ریزدماسنجی میانبارهای سیال در منطقه معدنی قره‌چنگل در جدول ۳ و شکل‌های ۹ تا ۱۱ آورده شده است. دمای ذوب نهایی یخ در میانبارهای دو فازی غنی از مایع از ۶۳-۶۰ تا ۱۹-۱۶ درجه سانتی‌گراد (تعداد = ۲۴، میانگین ۱۴-۱۴ درجه سانتی‌گراد) تغییر می‌کند که معادل با شوری ۲۲-۱۰ درصد وزنی معادل نمک است. همه این میانبارهای سیال به فاز مایع همگن شدن و دمای همگن‌شدنگی آنها از ۲۰۲ تا ۲۴۷ درجه سانتی‌گراد (تعداد = ۲۴، میانگین ۲۳۱ درجه سانتی‌گراد) تغییر می‌کند. دمای ذوب نخستین قطعه یخ در این میانبارها ۲۳/۲ تا ۳۸ درجه سانتی‌گراد (تعداد = ۱۱، میانگین ۲۷/۱ درجه سانتی‌گراد) است. این امر نشان می‌دهد که سیال کانه‌ساز به صورت یک شورابه ساده تشکیل شده از  $NaCl$  نبوده، بلکه ممکن است که

نقش سیال‌های جوی در کانه‌زایی و ارتباط منطقه با فرورانش است، ۷- شوری به نسبت پایین سیال‌های کانسنس‌ساز براساس یافته‌های زیردماسنجی میانبارهای سیال و ۸- رخداد کلسیت و کانی‌های رسی غنی از پتابسیم (سریسیت و ایلیت) در سامانه دگرسانی منطقه.

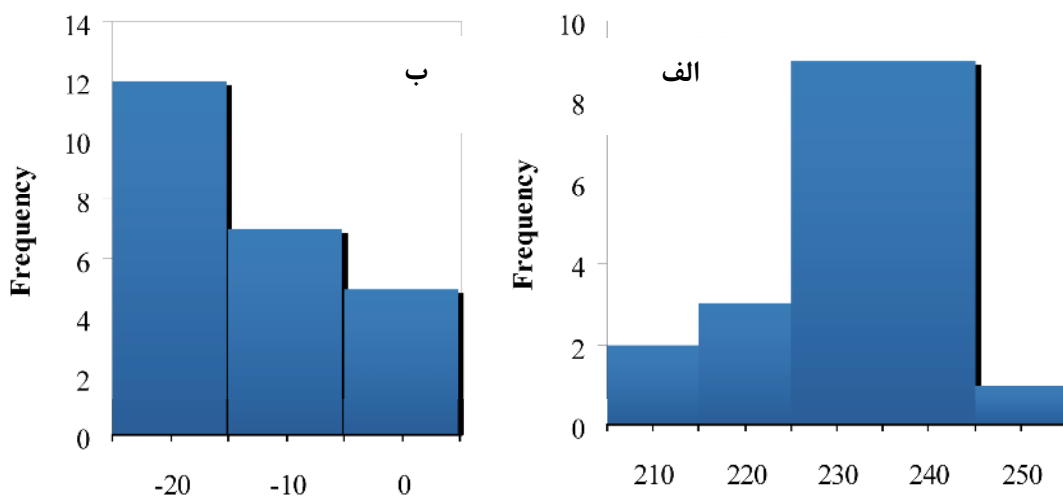
حضور بافت‌های شاخص رگه‌ای، پرکننده فضای خالی، جانشینی، برشی، تیغه‌ای و کوارتز ریز بلورین، ۵- حضور گسترده کربنات همراه با کوارتز (مهترین کانی‌های باطله که در شرایط اسیدی سولفیدشدگی بالا امکان حضور ندارند)، ۶- مقادیر نسبت‌های زمین‌شیمیایی  $\text{Th/Y}$  و  $\text{Ba/La}$  که نشانگر



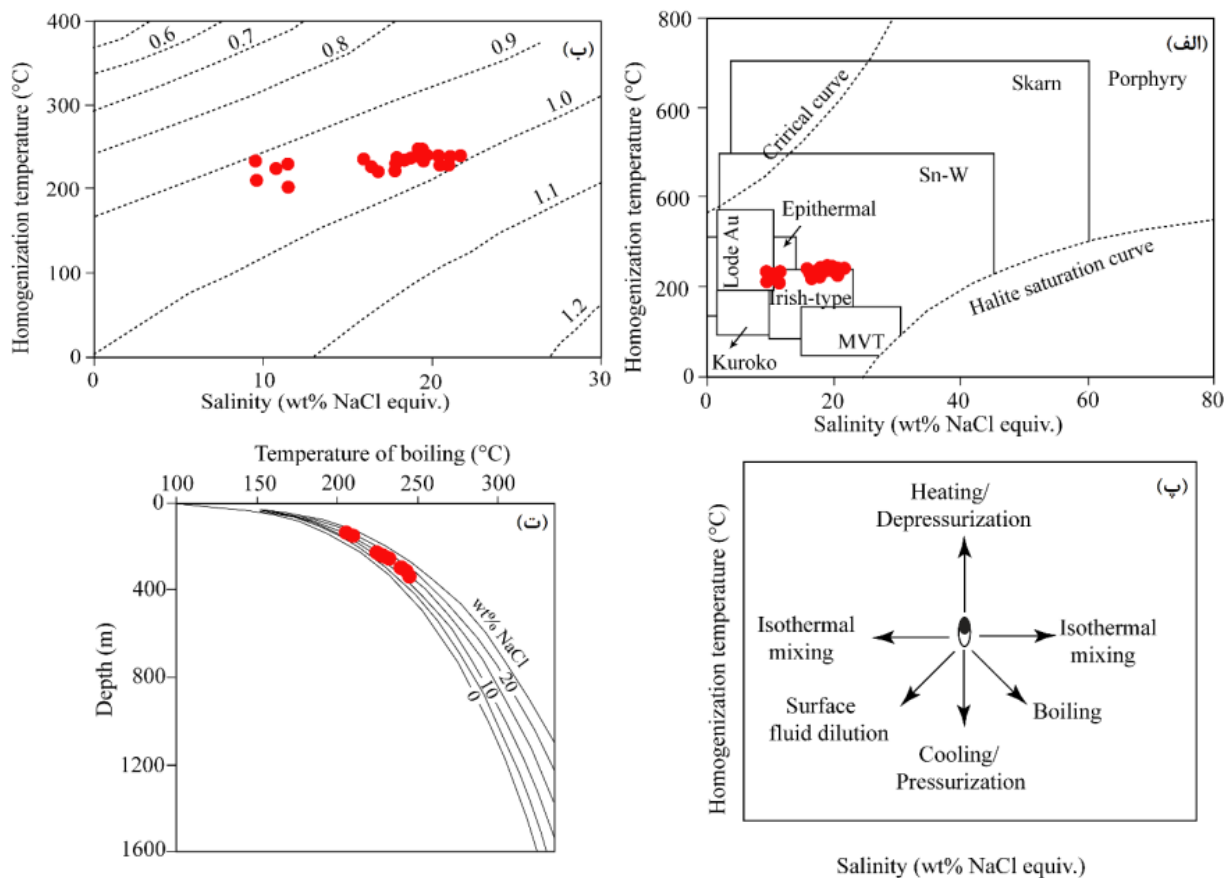
شکل ۹ تصاویر میکروسکوپی از میانبارهای سیال اولیه دو فازی غنی از مایع ( $L+V$ ). V و L به ترتیب بیانگر فاز گازی و مایع هستند.

جدول ۳ داده‌های ریزدماسنجی میانبارهای سیال اولیه دوفازی غنی از مایع در منطقه معدنی قره‌چنگل.  $T_h$ : دمای ذوب نهایی یخ،  $T_{m\text{-ice}}$ : دمای ذوب نهایی یخ،  $T_{ice}$ : دمای نخستین ذوب یخ و  $T_{FM}$ : دمای انجماد همگن‌شدنگی سیال.

نوع همگن شدنگی	(wt%NaCl)	شوری	$T_{FM}$ °C	$T_{m\text{-ice}}$ °C	$T_{ice}$ °C	اندازه میانبار سیال μm	$T_h$
LV → L	11,46	-	-26	-7,8	-57	10	229
LV → L	20,37	-	-27	-17,2	-59	10	228
LV → L	21,04	-	-23,2	-18,1	-62	10	226
LV → L	20,45	-	-	-17,3	-68	8	228
LV → L	16,34	-	-	-12,4	-54	8	226,8
LV → L	18,80	-	-26	-15,2	-	15	229
LV → L	21,68	-	-	-19	-	12	228,5
LV → L	19,60	-	-	-16,2	-	10	229,2
LV → L	19,79	-	-25	-14	-	10	227
LV → L	9,60	-	-38	-6,3	-58	10	211
LV → L	11,46	-	-	-7,8	-	10	202
LV → L	19,45	-	-	-16	-	8	242
LV → L	19,29	-	-	-15,8	-	7	229
LV → L	15,96	-	-24	-12	-62	15	225
LV → L	17,96	-	-27	-14,2	-64	15	226
LV → L	19,21	-	-	-15,2	-58	10	247
LV → L	18,47	-	-	-14,8	-	10	224
LV → L	19,53	-	-	-16,1	-	8	235,5
LV → L	16,71	-	-24	-12,8	-	8	221
LV → L	10,73	-	-26	-7,2	-58	10	225
LV → L	9,60	-	-	-6,3	-62	10	223
LV → L	17,79	-	-	-14	-	10	220
LV → L	19,60	-	-22	-18,2	-	15	227
LV → L	20,97	-	-	-18	-	15	224,5



شکل ۱۰ نمودار فراوانی نسبت به دمای همگن‌شدگی (الف) و درجه شوری (ب) برای میانبارهای سیال اولیه دو فازی غنی از مایع در کوارتزهای منطقه قره چنگل.



شکل ۱۱ (الف) نمودار دو متغیره دمای همگن‌شدگی نسبت به شوری برای میانبارهای سیال در کانسارهای مختلف [۲۹] که بر اساس آن میانبارهای سیال منطقه قره‌چنگل در گستره ذخایر اپیترمال قرار دارند. (ب) نمودار دو متغیره دمای همگن‌شدگی نسبت به شوری برای میانبارهای دو فازی غنی از مایع مورد بررسی برای تعیین چگالی میانبارها [۲۹]. (پ) نمایش طرحوار روندهای معمول میانبارهای سیال در فضای شوری- دمای همگن‌شدگی ناشی از فرآیندهای مختلف دگرگونی سیال [۲۹] که نشان‌دهنده فرایند آمیختگی و رقیق‌شدگی طی دگرگونی سیال گرمابی در منطقهمعدنی قره‌چنگل است. (ت) برآورد عمق تشکیل ذخیره قره‌چنگل بر اساس دمای همگن شدن میانبارهای سیال [۲۱].

دارند. نگارندگان، همچنین از نظرات و پیشنهادات سازنده داوران محترم مجله سپاسگزاری می‌نمایند.

#### مراجع

- [1] Alavi M., *Tectonic map of the Middle East: Scale 1:5,000,000*, Geological Survey of Iran (1991).
- [2] Ghorbani M., *Economic Geology of Irans Mineral and Natural Resources*, Arian Zamin publications (2007) 1-515.
- [3] Nabatian G., Giang S.Y., Honarmand M., Neubauer F., "Zircon U-Pb ages, geochemical and Sr-Nd-Pb-Hf isotopic constraints on petrogenesis of the Tarom-Olya pluton, Alborz magmatic belt", *Lithos* 244 (2016) 43-58.
- [4] Verdel C., Wernicke B. P., Hassanzadeh J., Guest B., "A Paleogene extensional arc flare-up in Iran", *Tectonics* 30 (2011) 1-20.
- [5] Agard P., Omrani J., Jolivet L., Whitechurch H., Vrielynck B., Spakman W., Monie P., Meyer B., Wortel R., "Zagros orogeny: a subduction-dominated process", *Geological Magazine* 148 (2011) 692-725.
- [6] Asiabanza A., Foden, J., "Post-collisional transition from an extensional volcanosedimentary basin to a continental arc in the Alborz Ranges, North of Iran ", *Lithos* 148 (2012) 98-111.
- [7] Le Bas M. J., Le Maitre R. W., Streckeisen A., Zanettin B., "A chemical classification of volcanic rocks based on the total alkali-silica diagram", *Journal of Petrology* 27 (1986) 745-750.
- [8] Winchester J. A., Floyd P. A., "Geochemical discrimination of different magma series and their differentiation pro-textures and setting of VMS mineralization in the Pilbara ducts using immobile elements", *Chemical Geology* 20 (1977) 325-344.
- [9] Peccerillo A., Taylor S. R., "Geochemistry of Eocene calc-alkaline volcanic rocks from the Kastamonu area, Northern Turkey", *Contributions to Mineralogy and Petrology* 58 (1976) 63-81.
- [10] Shand S. J., "Eruptive rocks, their genesis, composition, classification and their relation to

#### برداشت

مهمترین نتایج به دست آمده از این پژوهش عبارتند از:

۱- کانه‌زایی درونزاد (شامل بر اسفالریت، گالن، کالکوپیریت، پیریت، مگنتیت، طلا، دیژنیت و بورنیت) به همراه انباشتهای کانیایی برونزاد (کالکوسیت، کوولیت، سروزیت، مالاکیت، آزوریت، هماتیت و گوتیت) ذخیره نوع رگه‌ای قره‌چنگل (شمال غرب قزوین) در سنگ‌های آتشفسانی (تراکی آندزیت، ریولیت و داسیت) و آذرآواری (توف، توفیت، شیل‌های توفی) رخ داده است.

۲- دگرسانی‌های آرژیلیک، سریسیتی، پروپیلیتیک و سیلیسی پیرامون رگه‌های کانه‌زایی شده گسترش یافته‌اند. کلسیت و کوارتز مهمترین باطله‌های همراه کانه‌زایی هستند. بافت‌های رگه-رگچه‌ای، جانشینی، برشی، پراکنده، تیغه‌ای و پرکنده فضای خالی در کانسنگ‌ها نمایان هستند.

۳- بررسی میانبارهای سیال نشان می‌دهد که جوشش همزمان با سردشدن سازوکار مهم و اثرگذار طی گسترش رگه‌های کانی سازی شده قره‌چنگل است.

۴- رخداد پدیده جوشش طی تشکیل رگه‌های کانه‌زا را می‌توان برپایه شواهدی چون همیزیتی میانبارهای سیال غنی از مایع و بخار، برشی‌شدن، حضور کوارتز ریزبلورین و کلسیت تیغه‌ای برداشت نمود.

۵- بررسی‌های زمین‌شیمیایی نشان می‌دهند که سنگ‌های درونگیر آتشفسانی ذخیره قره‌چنگل پرآلومنیم بوده و دارای ماهیت آهکی قلیایی پتاسیم بالا تا شوشوئنیتی هستند. افزون بر این، می‌توان برای این سنگ‌ها ارتباط با پهنه فرورانش و گسترش در کمان آتشفسانی از نوع قاره‌ای را در نظر گرفت.

۶- این پژوهش نشان می‌دهد که کانه‌زایی در منطقه قره‌چنگل بیشترین شباهت را به ذخایر فراگرمایی سولفیدشدگی پایین دارد و کمترین عمق کانه‌زایی حدود ۴۰۰ متر زیر سطح ایستابی قدیمی است.

#### قدرتانی

نگارندگان مقاله از حمایت‌های مالی معاونت پژوهشی و تحصیلات تکمیلی دانشگاه ارومیه برخوردار بوده‌اند که به این وسیله کمال تشکر خود را از مسؤولین این معاونت اعلام می-

- straddling the Asthenosphere-Lithosphere boundary*, Lithos 102 (2008) 295-315.
- [19] Sillitoe R. H., Hedenquist J. W., *Linkages between volcano-tectonic settings, ore-fluid compositions and epithermal precious metal deposits*, Society of Economic Geologists, Special Publication 10 (2003) 315-343.
- [20] Walker J. A., Patino L. C., Carr M. J., Feigenson M. D., *Slab control over HFSE depletions in central Nicaragua*, Earth and Planetary Science Letters 192 (2001) 535-543.
- [21] Thieblemont D., Tegyey M., *Geochemical discrimination of differentiated magmatic rocks attesting for the variable origin and tectonic setting of calc-alkaline magmas*, Comptes Rendus De L Academie Des Sciences Serie II 319 (1994) 87-94.
- [22] Muller D., Groves D.I., *Potassic igneous rocks and associated gold copper mineralization*, Springer Verlage (1997) 241 p.
- [23] Le Maitre R.W., *A Classification of igneous rocks and Glossary of Terms (IUGS): Recommendations of the IUGS Subcommission on the Systematics of igneous rocks*, Blackwell, Oxford (1989) 193 p.
- [24] Pearce J. A., *Role of the sub-continental lithosphere in magma genesis at active continental margins*, In: Hawkesworth, C. J., Norry M. j., (Eds.) Continental Basalts and Mantle Xenoliths, Shiva, Nantwich (1983) 230-249.
- [25] Stern R. J., *Subduction zones*, Reviews of Geophysics 40 (2002) 1012-1054.
- [26] McCulloch M. T., Gamble J. A., *Geochemical and geodynamical constraints on subduction zone magmatism*, Earth and Planetary Science Letters 102 (1991) 358-374.
- [27] Wood D. A., *The application of a Th-Hf-Ta diagram to problems of tectonomagmatic classification and to establishing the nature of crustal contamination of basaltic lavas of the British* *ore deposits*", 3rd edition, Hafner, New York (1947) 1-448.
- [11] Boynton W. V., *Cosmochemistry of the rare earth elements, Meteorite studies*", In: P. Henderson (Editor), Rare Earth Element Geochemistry. Elsevier, Amsterdam (1984) 63-114.
- [12] Gill R., *Igneous rocks and processes*, Wiley-Blackwell, New Jersey (2010) 1-428.
- [13] Sun S. S., McDonough W. F., *Chemical and isotope systematics of oceanic basalts: Implications for mantle composition and processes*", In: Magmatism in the Ocean, Basins, (Eds. Saunders A. D., Norry M. J.,) special publications Geological Society, London 42 (1989) 313-345.
- [14] Maniar P. D., Piccoli P. M., *Tectonic discrimination of granitoids*, Geological Society of America Bulletin 101(1989) 635-643.
- [15] Graupner T., Muhlbach C., Schwarz-Schampera U., Henjes-Kunst F., Melcher F., Terblanche H., *Mineralogy of high-field-strength elements (Y, Nb, REE) in the world-class Vergenoeg fluorite deposit, South Africa*, Ore Geology Reviews 64 (2014) 583-601.
- [16] Tepper J. H., Nelson B. K., Bergantz G. W., Irving A. J., *Petrology of the Chilliwack batholith, North Cascades, Washington: Generation of calc-alkaline granitoids by melting of mafic lower crust with variable water fugacity*, Contributions to Mineralogy and Petrology 113 (1993) 333-351.
- [17] Abedini A., Calagari A.A., Naseri H., *Mineralization and REE geochemistry of hydrothermal quartz and calcite of Helmesi vein-type copper deposits, NW Iran*, Neues Jahrbuch fur Geologie und Palaontologie Abhandlungen 281 (2016) 123-134.
- [18] Peters T. J., Menzies M., Thirwall M., Kyle P., *Zuni-Bandera volcanism, Rio Grande, USA – melt formation in garnet- and spinel facies mantle*

- [29] Wilkinson J. J., "Fluid inclusions in hydrothermal ore deposits", *Lithos* 55 (2001) 229-272.
- [30] Roedder E., "Fluid Inclusions", *Reviews in Mineralogy* 12 (1984) 1-646.
- [31] Haas J. L., *The effect of salinity on the maximum thermal gradient of a hydrothermal system in hydrostatic pressure*, *Economic Geology* 66 (1971) 940-946.
- [Tertiary volcanic province", *Earth and Planetary Science Letters* 50 (1980) 11-30.
- [28] Valenza K., Moritz R., Mouttaqi A., Fontignie D. and Sharp Z., "Vein and Karst barite deposits," in the western Jebilet of Morocco: Fluid inclusion and isotope ( $S$ ,  $O$ ,  $Sr$ ) evidence for regional fluid mixing related to central Atlantic Rifting", *Economic Geology* 95 (2000) 587-606.